

## مقاله پژوهشی

# شناسایی ژن‌های سیکلوتید در گونه‌های بنسه و بررسی آثار ضدمیکروبی سیکلوتیدهای استخراج شده

محبوبه ضرابی<sup>۱\*</sup>، اکرم روشن<sup>۲</sup>، عزت عسگرانی<sup>۳</sup>، مونا پاکدل<sup>۳</sup>، مهسا روینی<sup>۲</sup>

۱. استادیار، گروه بیوتکنولوژی، دانشکده علوم زیستی، دانشگاه الزهراء، تهران، ایران
۲. دانشیار، گروه بیوتکنولوژی، دانشکده علوم زیستی، دانشگاه الزهراء، تهران، ایران
۳. دانشجوی دکتری، گروه بیوتکنولوژی، دانشکده علوم زیستی، دانشگاه الزهراء، تهران، ایران
۴. کارشناسی ارشد، گروه بیوتکنولوژی، دانشکده علوم زیستی، دانشگاه الزهراء، تهران، ایران

### جکیده

تاریخ دریافت: ۱۰ آبان ۱۳۹۴  
تاریخ پذیرش: ۱۸ اسفند ۱۳۹۴

**هدف** سیکلوتیدها خانواده بزرگی از پپتیدهای گیاهی با فعالیت زیستی و ویژگی‌های ساختاری متمایز است که در خانواده‌های گیاهی روپیسه‌ها، کوکوریتیسه‌ها و بیولاسه‌ها بیان می‌شود. سیکلوتیدها به دلیل فعالیت‌های زیستی متعدد از جمله ضدبacterی و ضدسرطان، همچنین ساختار منحصر به‌فردی که پایداری حرارتی و آنزیمی بی‌نظیری به آن بخشیده است، انتخابی مناسبی برای مهندسی پروثئین در کاربردهای دارویی و کشاورزی است.

**مواد و روش‌ها** در این پژوهش، استخراج ژن‌های کدکننده سیکلوتیدها از چهار نمونه گیاه بنسه *V. odorata*, *V. spathulata*, *V. ignobilis* و *V. occulta* انجام شد. به منظور شناسایی ژن سیکلوتید، طراحی پرایمر و واکنش زنجیره‌ای پلیمراز صورت گرفت. همچنین، آثار ضدمیکروبی مجموعه سیکلوتیدها بررسی شد. برای رسیدن به این هدف از روش جزء‌گیری و استخراج با فاز جامد استفاده شد.

**یافته‌ها** حضور ژن‌های سیکلوتید در گونه‌های مورد مطالعه به اثبات رسید. بررسی آثار ضدمیکروبی سیکلوتیدها نشان داد که از میان باکتری‌های بیماری‌زا انسانی /ستافیلوکوکس اورئوس/ بیشترین حساسیت را به پپتیدهای مورد مطالعه دارد و در بین مجموعه باکتری‌ها بیشترین حساسیت مربوط به سویه /اتوموناس اوریزوآ/ است، چرا که نقش ذاتی سیکلوتیدها در گیاه میزان دفاع در مقابل آفات است.

**نتیجه‌گیری** به طور کلی، به نظر می‌رسد که احتمالاً می‌توان از پپتید سیکلوتید حاصل از این گونه‌های بنسه به دلیل وجود اثر ضدمیکروبی در مصارف دارویی استفاده کرد. همچنین، مطالعه توالی سیکلوتیدها نشان می‌دهد، علی‌رغم وجود اسید آمینه‌های حفاظت‌شده در اکثر سیکلوتیدها، تفاوت عملکرد در آن‌ها به دلیل تنوع توالی است.

### مقدمه

پپتیدهای حلقوی در همه موجودات وجود دارد و غالباً دارای ساختار حلقوی سر-دم و یک یا چند پیوند دی‌سولفید است. به دلیل پایداری منحصر به‌فرد خود در برابر عوامل شیمیایی، حرارتی و بیولوژیکی، انتخاب مناسبی برای طراحی داروست [۱]. سیکلوتیدها پپتیدهای حلقوی گیاهی با طول ۳۷-۲۸ آمینو اسید و دارای سه پیوند دی‌سولفید با آرایش سیستین

نوت است [۲]. تاکنون ۲۲ جنس و ۹۰۰ گونه از خانواده بیولاسه‌ها شناسایی شده است که عمدتاً در مناطق معتدل‌هستند. همه گونه‌های بررسی شده خانواده بنسه حاوی سیکلوتید است [۳]. نمونه اصلی سیکلوتیدی *kalataB1 affinis Oldenlandia* که نخست در برگ‌های گیاه آفریقایی کشف شد [۴]. فعالیت ذاتی سیکلوتید در میزان گیاهی، دفاع در مقابل آفات و پاتوژن‌هاست. برخی فعالیت‌های زیستی در مقابله با آفات و پاتوژن‌هاست.

\* نویسنده مسئول: محبوبه ضرابی  
نشانی: تهران، دانشگاه الزهراء، دانشکده علوم زیستی  
تلفن: ۰۲۱ ۸۵۶۹۲۷۲۲  
ایمیل: [mzarrabi@alzahra.ac.ir](mailto:mzarrabi@alzahra.ac.ir)

مجله علمی پژوهشی دانشگاه علوم پزشکی سبزوار، دوره ۲۴، شماره ۲، خرداد و تیر ۱۳۹۶، ص ۸۹-۹۶.  
آدرس سایت: [journal@medsab.ac.ir](http://jsums.medsab.ac.ir) رایانه‌ای: <http://jsums.medsab.ac.ir>  
شایانی: تهران، دانشگاه الزهراء، دانشکده علوم زیستی  
تلفن: ۰۲۱ ۸۵۶۹۲۷۲۲  
ایمیل: [mzarrabi@alzahra.ac.ir](mailto:mzarrabi@alzahra.ac.ir)

شایانی: ۱۶۰۶-۷۴۸۷

## ضرابی و همکاران

طبیعی با بازده عالی استفاده می‌شود و روش‌های بیان با مداخله اینتگرین در بیان سیکلوتیدها در ای کولاوی، با بازده تا بیش از ۱۰/۵ میلی‌گرم بر لیتر از باکتری کشت داده شده توسعه یافته است [۱۲].

هدف از این تحقیق استخراج ژن‌های کدکننده سیکلوتیدها از چهار گونه بنفسه شامل *V. spathulata*, *V. occulta* و *V. odorata*, *ignobilis* ضدمیکروبی پیتیدی آن است.

## مواد و روش‌ها

## جمع‌آوری گیاه و استخراج DNA

گونه‌های گیاهی مورد استفاده در این پژوهش از نواحی استان‌های مازندران (*Viola ignobilis*), زنجان (*Viola odorata*)، *Viola spathulata*) و ارتفاعات البرز (*Viola occulta*) در کشور ایران، در فصل بهار جمع‌آوری شد. گیاهان در مرکز تحقیقاتی دارو و گیاهان دارویی دانشگاه شهید بهشتی شناسایی شد (کد هر باریم PNSH-900280). DNA Tam با استفاده از بافر C-TAB با پروتکل شرح‌داده شده پیرتیلا و همکاران جدا شد [۱۳]. سپس، کیفیت و غلظت DNA تخلیص شده با استفاده از اسپکتروفوتومتری و الکتروفوروز آگارز ۸ درصد تعیین شد. پرایمرهای مورد استفاده در این واکنش بر اساس توالی‌های سیکلوتیدها طراحی شد که در Genbank موجود است. همچنین، از نرم‌افزار Genrunner در طراحی استفاده شده است (جدول ۱).

## طراحی پرایمر و واکنش‌های زنجیره‌ای پلیمراز

برنامه واکنش زنجیره‌ای پلیمراز به صورت زیر انجام شد: چرخه واشرستی اولیه در ۹۴ °C به مدت پنج دقیقه، سی سیکل واشرست در یک دقیقه؛ در ۹۴ °C، اتصال در یک دقیقه؛ در ۷۲-۵۲ °C (بر اساس پرایمر) گسترش در یک دقیقه؛ در ۷۲ °C، مرحله بعد شامل چرخه گسترش نهایی در ۲۰ دقیقه.

سیکلوتید شامل ضدمیکروب [۵] anti-HIV [۶]، ضدسرطان [۷] و حشره‌کش [۸] است.

در تحقیق تام و همکاران چهار سیکلوتید کاملاً به روش شیمیایی سنتز و فعالیت آن علیه باکتری‌های مختلف (چهار گرم- منفی و دو گرم- مثبت) با استفاده از سنجش انتشار شعاعی (RAD) بررسی شد. سیکلوتیدهای سنتزی شامل *kalataB1* است که علیه باکتری‌های گرم- مثبت مثل *Escherichia coli* در غلظت‌های زیر میکرومولار فعال است؛ ولی علیه باکتری‌های گرم- منفی نسبتاً غیرفعال است. سازوکار اثر آن از سازوکار تخریب کننده غشا تبعیت می‌کند؛ اما سازوکار دقیق عملکرد و ارتباط میان ساختار و توانایی بالقوه آن هنوز به خوبی شناخته نشده است [۹]. با استفاده از این نتایج و بررسی سیکلوتیدهای سنتزی و فولیدینگ اکسایشی سیکلوتیدها، چنین برمی‌آید که ساختار منحصر به فرد سیکلوتیدها نقطه قوتی برای طراحی آنتی‌بیوتیک‌های پیتیدی است [۱۰].

مطالعات نشان داده‌اند که ساختار سیکلوتیدها در مقابل جهش‌ها انعطاف‌پذیر است. این امر قابلیت کاربرد دارویی آن را افزایش می‌دهد. سیکلوتیدها موتفیک گره سیستینی (cystine knot) ساخته شده از سه پیوند دی‌سولفید حفاظت شده را شامل می‌شود. دو پیوند از این پیوندهای دی‌سولفیدی و بخش‌های ساختمان اصلی متصل کننده آن حلقه‌ای را تشکیل می‌دهد که در ساختار پیتید جاسازی شده است و با باند دی‌سولفیدی سوم احاطه می‌شود. ساختار گره سیستین حلقه‌ای (CCK) سبب مقاومت و پایداری منحصر به فرد سیکلوتیدها به حرارت، مواد شیمیایی و آنزیم‌ها شده است [۱۱]. بعضی گیاهان تولید کننده سیکلوتید به صورت طبیعی، برخی سیکلوتیدها را با بازده تا ۲ گرم از سیکلوتید به ازای هر کیلوگرم از بافت گیاهی، بسیار کارآمد می‌سازد و اگر این را بتوان به تولید سیکلوتیدهای دارویی تغییر یافته در گیاهان ترا ریخت مبدل کرد، احتمالاً مقولون به صرفه‌ترین راه تولید سیکلوتیدها خواهد بود. سلول‌های گیاهی کشت داده شده *O. affinis* نیز برای تولید سیکلوتیدهای

جدول ۱. توالی و مشخصات پرایمرها در گونه‌های مورد مطالعه

نام پرایمر	توالی	Tm(°C)	طول قطعه تکثیری	نام گونه
Vbc F Vbc R	ACCGTCATCTCAAATCC CGAGAGAGTTCTGTAGC	۵۲/۵ ۵۲/۶	۱۵۰ Bp	<i>V.ignobilis</i> <i>V. odorata</i> <i>V.occulta</i>
Forward A Reverse A	GACCTTGAGAAAGATTTCATCAC AAGGAGACATCAAACCACGC	۶۴/۲ ۶۳/۸	۵۷۰ bp vsc-1	
Forward B Reverse B	GACCTTGAGAAAGATTTCATCAC GCAAACACACGAGCGGGAG	۶۴/۲ ۶۳/۸	۴۴۴bp vsc-3	<i>V. spathulata</i>
Forward C Reverse C	AGTCTGCACCAAGAAACTCTCTTG GGTAAATCCATATGTCACGAGC	۶۵ ۶۳/۶	۴۷۹bp vsc-1	

شسته شد. در نهایت در ۱ میلی‌لیتر از همان بافر سوسپانسیون گشت. تعداد تقریبی  $4 \times 10^4$  CFU از باکتری مورد نظر به ۱۰ میلی‌لیتر از محیط کشت A اضافه شد. این مخلوط خوب به هم‌زده شد و در پتی دیشی به قطر ۸۵ میلی‌متر اضافه شد به‌گونه‌ای که لایه یکنواختی ایجاد شود. بعد از بسته‌شدن محیط کشت در پلیت، چاهک‌هایی به قطر ۳ میلی‌متر تعییه و نمونه‌های پیتیدی به هر چاهک اضافه شد. پلیت‌ها در دمای  $37^\circ\text{C}$  به مدت سه ساعت انکوبه شد. در این مدت پیتیدها اجازه انتشار پیدا خواهد کرد. سپس، ۱۰ میلی‌لیتر از محیط کشت B که دمای آن  $42^\circ\text{C}$  است به پلیت‌ها افزوده شد، به‌گونه‌ای که لایه یکنواختی ایجاد شود. بعد از ۲۴–۱۸ ساعت گرمخانه‌گذاری در  $37^\circ\text{C}$  قطر ناحیه شفاف با خطکش اندازه‌گیری شد. سویه‌های به‌کاررفته در تعیین آثار ضدمیکروبی در این پژوهش در جدول ۲ ذکر شده است.

## جدول ۲. سویه‌های مورد استفاده در تعیین آثار ضدپیتیدی

Escherichia coli ATCC25922	سویه‌های بیماری‌زای انسانی
Staphylococcus aureus PTCC1431	
Pseudomonas aeruginosa ATCC27853	
Xanthomonasoryzea	باکتری‌های بیماری‌زای گیاهان
Rizobiumcicil	باکتری‌های مفید خاک
Bacillus sp.	

## سنجهش انتشار شعاعی (RDA)

روش انتشار شعاعی به‌منظور بررسی قدرت ضدمیکروبی پیتیدهای استخراج شده استفاده شد. به‌طور خلاصه، در این روش باکتری‌ها در محیط (Triton Soy Broth) TSB رشد کرد تا میزان جذب نوری آن در  $600\text{ nm}$  به  $0/3$  برسد. سپس، ۱ میلی‌لیتر از محیط کشت در  $4^\circ\text{C}$  با سرعت  $3400\text{ g}$  به‌مدت ده دقیقه سانتریفوژ شد. رسوب حاصل یکبار با بافر فسفات سدیم  $0/0\text{ }1\text{ SPB}$  میلی‌مولار و  $8\text{ pH}$  شسته و سرانجام در SPB سرد سوسپانسیون شد. تقریباً  $4 \times 10^6$  کلونی در لایه زیرین محیط کشت شامل  $0/0\text{ }3\text{ W/V}$  درصد TSB،  $1\text{ W/V}$  درصد آگارز LE و  $0/0\text{ }2\text{ V/V}$  درصد Tween 20 جمع شد. مخلوط به پتی دیش اضافه شد  $85\text{ میلی‌لیتر}$ . در نهایت، با استفاده از ژل  $3\text{ میلی‌متری}$  دیوارهایی ساخته و  $5$  یا  $10$  میکرولیتر پیتید استخراج (غلظت  $80\text{ میکروگرم بر میلی‌لیتر}$ ) یا کنترل  $5\text{ میکرولیتر DMSO}$  درصد به هر دیواره اضافه شد. مخلوط به مدت سه ساعت در دمای  $37^\circ\text{C}$  به‌منظور انتشار پیتیدها در انکوباتور گذاشته شد. سپس، لایه بالایی کشت (۶  $\text{W/V}$  TSB،  $1\text{ درصد آگارز در }10\text{ میلی‌لیتر SPB}$ ) اضافه شد. پلیت‌ها یکشب در دمای  $37^\circ\text{C}$  انکوبه شد.

محصول واکنش زنجیره‌ای پلیمراز با ژل الکتروفوروز تخلیص شده پس از خالص‌سازی باندها به کمک کیت Qiagen برای تعیین توالی به شرکت Pioneer فرستاده شد.

## استخراج پیتید

به‌منظور حذف پلی‌پیتیدها، باقی‌مانده خشکشده گیاه با محلول اتانول  $50\text{ درصد آبی}$  عصاره‌گیری شد. این عصاره در جریان هوا به مدت یک شب تغليظ و با افزودن استیک اسید به میزان  $2\text{ درصد حجم نهایی}$  عصاره اسیدی شد. با استفاده از ستون پلی‌آمید، پلی‌فنلهای موجود در عصاره اتانولی حذف شد. سپس، با لیوفیلیزاسیون عصاره را به صورت پودر خشک درآورده‌یم. برای تکمیل مراحل خالص‌سازی  $1\text{ گرم}$  از پودر به‌دست‌آمده در  $100\text{ سی سی آب}$  مقتصر حل و سه بار با  $100\text{ سی سی بوتانول}$  عصاره‌گیری شد. در این مرحله، بعد از حذف حلال فاز بوتانولی مرحله قبل،  $25\text{ میلی‌گرم}$  از پودر به‌دست‌آمده در  $8\text{ میلی‌لیتر}$  بافر استات آمونیم برای حذف ناخالصی‌ها حل شد. نمونه روی ستون سیلیکاژل C18 به ترتیب با محلول‌های  $20$ ،  $50$  و  $80\text{ درصد اتانول شست و شو داده شد}$  ( $4\text{ میلی‌لیتر از هر محلول}$ ). سپس، سنجهش پروتئین با روش برده‌ورد صورت گرفت. همچنین، میزان خلوص نمونه پیتیدی با روش Tricin-PAGE تعیین شد.

## بررسی آثار ضدمیکروبی سیکلوتیدها

به‌منظور بررسی آثار ضدمیکروبی سیکلوتیدها، نخست بافر فسفات سدیم تهیه شد. محیط‌های کشت به کاررفته شامل TSB و محیط‌های کشت A و B مورد استفاده در سنجهش انتشار شعاعی است. محیط کشت A حاوی TSB، آگارز (Low Electro density) LE، آگارز TSB است که هر دو محیط با بافر فسفات سدیم به حجم مورد نظر رسید. بدلیل اینکه پلی‌پیتیدهای ضدمیکروبی سیکلوتیدها باردار است، برای کاهش میان‌کنش الکترواستاتیکی میان آن و اجزای سولفات رزیدوهای قند آگاروپکتین به جای آگار از ماده ژلاتینی آگارز LE استفاده شد [۱۴].

به‌منظور سنجهش فعالیت ضدمیکروبی مجموعه پلی‌پیتیدهای استخراج شده، روش انتشار شعاعی (RDA) استفاده شد [۱۰]. نخست، هر یک از باکتری‌ها در محیط TSB رشد داده شد تا میزان OD آن‌ها در  $600\text{ nm}$  به  $0/3$  برسد. سپس، به میزان  $1\text{ میلی‌لیتر از محیط کشت در دمای }4^\circ\text{C}$  به مدت ده دقیقه با سرعت  $3400\text{ g}$  سانتریفوژ شد. سپس، رسوب سلول‌های باکتریایی یکبار با بافر فسفات سدیم سرد

## یافته‌ها

## توالی سیکلوتیدها

اطلاعات مربوط به کیفیت DNA استخراج شده با روش TAB در گونه‌های *V. occulta*, *V. odorata* و *V. ignobilis* در جدول ۳ آمده است.

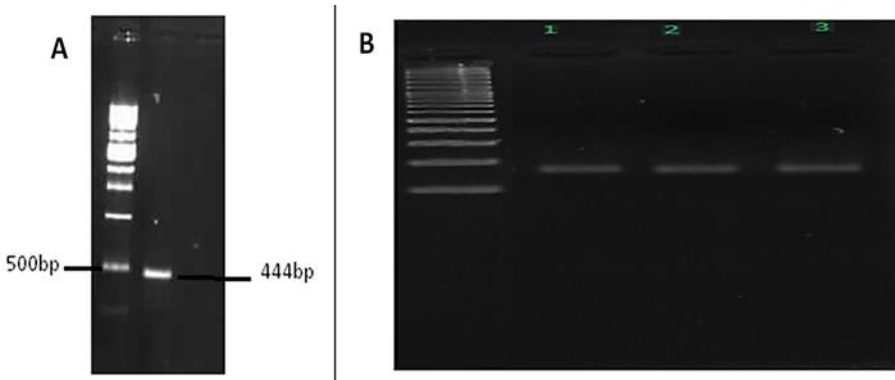
جدول ۳. کیفیت DNA استخراج شده

نمونه	غلظت DNA (ng/µl)	۲۶۰/۲۳۰	۲۶۰/۲۸۰
<i>V. ignobilis</i>	۸۲۴/۶	۱/۸	۱/۹۱
<i>V. odorata</i>	۲۰۰	۱/۸	۱/۹
<i>V. occulta</i>	۸۷۲/۶	۱/۹	۲
<i>V. spathulata</i>	۰/۰۸	۱/۳۸	۱/۸۶

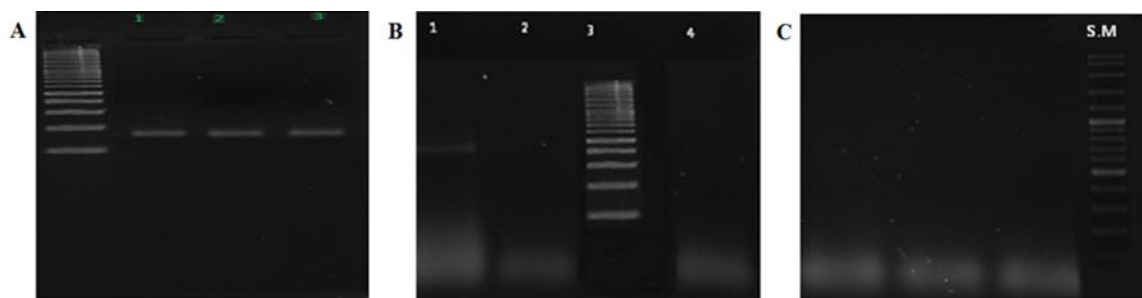
با استفاده از پرایمرهای mra باندی رؤیت نشد. بنابراین، ژن سیکلوتید در تمام گونه‌های مورد بررسی مشاهده شد (جدول ۴).

جدول ۴. توالی‌های پپتیدی حاصل از ترجمه ژن *vbc* استخراج شده در گونه‌های *V. spathulata*, *V. ignobilis*, *V. occulta*, *V. odorata* و *V. ignobilis* توالی پپتیدی حاصل از ترجمه ژن *vbc* استخراج شده

نام گونه	توالی پپتیدی حاصل از ترجمه ژن <i>vbc</i> استخراج شده
<i>V. odorat</i>	TVISNPVLEEALLKNSHGNGIPCGESCVWIPCISAAIGCSCKSKVCYRNSL
<i>V. occulta</i>	IPCGESCVRIPCITAAGCSCNSKVCYRNSL
<i>V.ignobilis</i>	LLTQSGRYGIPCSESCVFICQCTAAIGCSCNSKVCYRNSL
<i>V. spathulata</i>	ESAPLSNLMLEEDVINALLKSKTVISNPIEALLKNSNGLNGIPCGESCVWIPCISAAIGCSCKNKVCYRNSLDN



شکل ۱. (A) شناسایی ژن سیکلوتید در نمونه *V. spathulata* همراه با شاخص وزن مولکولی +100 bp (B) شناسایی ژن سیکلوتید در سه نمونه +100 bp همراه با شاخص وزن مولکولی *V. occulta* و *V. odorata* و *V. ignobilis*



شکل ۲. (A) تکثیر PCR از پرایمر *vbc* برای DNA ژنومی. ردیف ۱: از *vbc* زنومی. ردیف ۲: از *vbcC3* زنومی. ردیف ۳: از *v. odorata*. (B) *V. occulta* و *V. ignobilis* تکثیر PCR از پرایمر *vbc* برای DNA ژنومی. ردیف ۱: از *vbc* زنومی. ردیف ۲: از *v. ignobilis*. ردیف ۳: از *v. odorata*. ردیف ۴: از *v. occulta*. (C) تکثیر PCR از پرایمر *mra* برای DNA ژنومی. ردیف ۱: از *mra* زنومی. ردیف ۲: از *V. ignobilis*. ردیف ۳: از *V. spathulata*. ردیف ۴: از *V. occulta*. (S.M) مارکر

باکتری‌های بیماری‌زا در شکل ۴ نشان داده شده است. نتایج بیانگر این است که محلول اتانول ۵۰ درصد بیشترین اثر ضدباکتری را در مجموعه مورد مطالعه دارد.

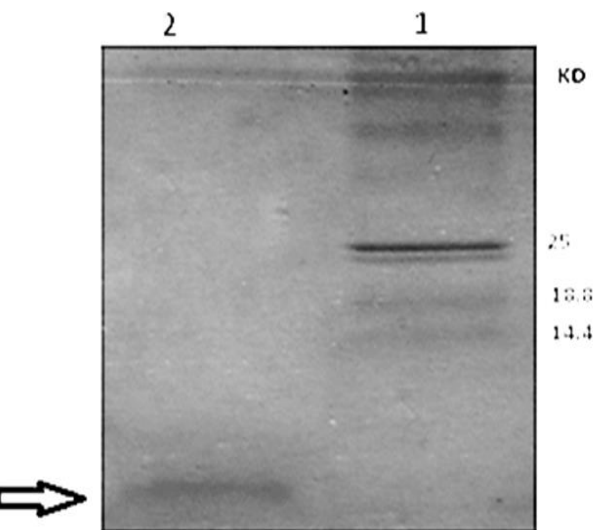
### بحث

با توجه به ویژگی‌های منحصر به فرد سیکلوتیدها و قابلیت‌های درمانی آن، اخیراً [۱۸] مطالعات گستره‌ای در زمینه شناسایی ژن آن‌ها صورت گرفته است، چرا که با به دست آوردن ژن رمزکننده سیکلوتید می‌توان آن را در میزبان مناسب تولید کرد. به تازگی، سیستم‌های بیانی گیاهان در باکتری‌ها برای تولید پپتیدهای حلقوی گسترش یافته است. نخستین مطالعات روی ژن‌های سیکلوتیدها را دوتان و همکاران روی گیاه *O. affinis* و *V. odorata* از خانواده Rubiaceae [۱۹] و [۲۰] با استفاده از تکیک RT-PCR و RACE انجام دادند. *Viola baoshanensis* با استفاده از این روش ژن‌های سیکلوتید محدود به پژوهشی است که دلیر و همکاران روی *V. odorata* انجام دادند [۱۵].

پژوهش حاضر، به منظور شناسایی ژن‌های سیکلوتید از برگ گیاهان بنفسه استفاده شد. لازم به یادآوری است پراکندگی دو گونه *V. occulta* و *V. ignobilis* و چند کشور همسایه شرقی ایران است. گونه *V. spathulata* نیز از نظر جغرافیایی منحصر به ایران است و تاکنون هیچ گونه مطالعه‌ای روی ژن‌های آن صورت نگرفته است. با استفاده از پرایمر طراحی شده از منطقه ترجیمه‌نشده (NTR) و بخش انتهایی پپتید بالغ، برخی ژن‌های سیکلوتید در گونه‌های مورد مطالعه شناسایی شد. حفاظت‌شدگی منطقه NTR نقش حیاتی آن را در پیچ خوردن و پردازش سیکلوتید نشان می‌دهد [۱۹]. حضور ژن در گونه *V. ignobilis* که در سه گونه *vbc*, *kalata* و *occulta* در *voc<sup>3</sup>* به *odorata*, *ignobilis*, *spathulata*, *occulta*, *ignobilis*, *odorata* اثبات رسید. همچنین، عدم حضور ژن *mra* در گونه‌های مورد مطالعه مشخص شد.

بررسی وزن مولکولی سیکلوتید استخراج شده

طبق نتایج حاصل از پژوهش‌های انجام شده [۱۵ و ۱۶] بیشترین غلظت سیکلوتید در محلول اتانول ۵۰ درصد حاصل از شست و شوی ستون SPE وجود دارد. برای تأیید حضور سیکلوتید در این محلول از روش Tricine-SDS-PAGE استفاده شد. وزن مولکولی سیکلوتیدها بین ۲۸۰۰ تا ۵۰۰۰ دالتون است (شکل ۳).

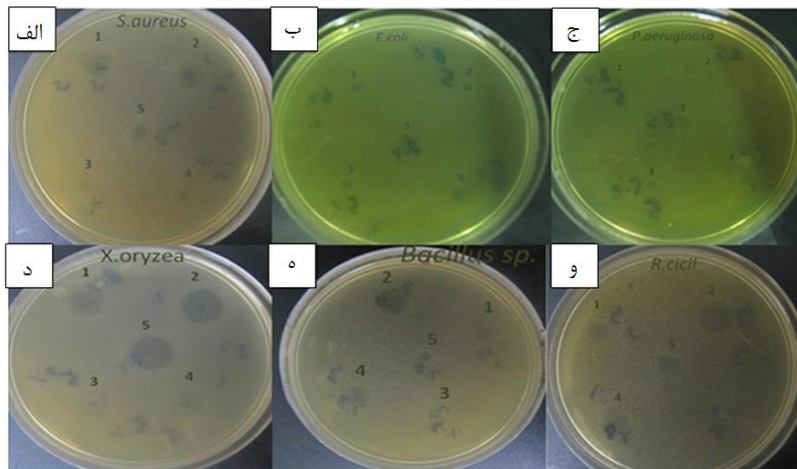


شکل ۳. ستون ۱. مارکر وزن مولکولی، ستون ۲. محلول حاصل از شستشو با اتانول ۵۰ درصد

سنجه RDA در باکتری‌های بیماری‌زا انسانی مطالعات گذشته نشان می‌دهد که RDA روش مفیدی برای بررسی فعالیت ضد میکروبی مواد مختلف است [۱۷]. بنابراین، در این مطالعه نیز از این روش در ارزیابی فعالیت مجموعه سیکلوتیدهای نیمه خالص شده در محلول اتانول ۵۰، ۲۰، ۵۰ و ۸۰ درصد استفاده شد. فعالیت در برایر باکتری‌های بیماری‌زا انسانی، باکتری‌های بیماری‌زا گیاهی و باکتری مفید خاک و قطر مناطق شفاف در جدول ۵ آمده است. اثر پپتیدهای استخراج شده در غلظت ۸۰ میکروگرم بر میلی لیتر مختلف بر

جدول ۵. قطر هاله عدم رشد (میلی‌متر)

گونه‌ها	محلول اتانول ۲۰ درصد	محلول اتانول ۵۰ درصد	محلول اتانول ۸۰ درصد
<i>S. aureus</i>	۴	۱۰	.
<i>E. coli</i>	.	.	.
<i>P. aeruginosa</i>	.	.	.
<i>X. oryzae</i>	۱۲	۱۳	۹
<i>Bacillus sp.</i>	.	۸	۵
<i>Rizobium. cicer</i>	۶	۶	۶



شکل ۴. الف) اثر ضد میکروبی سیکلوتیدها بر *S.aureus* ۱: ۵ $\mu$  و ۲: ۱۰ $\mu$  محلول اتانولی ۵۰ درصد، ۳: ۵ $\mu$  و ۴: ۱۰ $\mu$  محلول اتانولی ۸۰ درصد، ۵: ۱۰ $\mu$  محلول اتانولی ۲۰ درصد. ب) اثر ضد میکروبی سیکلوتیدها بر *E.coli* ۱: ۵ $\mu$  و ۲: ۱۰ $\mu$  محلول اتانولی ۵۰ درصد، ۳: ۵ $\mu$  و ۴: ۱۰ $\mu$  محلول اتانولی ۸۰ درصد، ۵: شاهد: سالین. ج) اثر ضد میکروبی سیکلوتیدها بر *P.aeruginosa* ۱: ۵ $\mu$  و ۲: ۱۰ $\mu$  محلول اتانولی ۵۰ درصد، ۳: ۵ $\mu$  و ۴: ۱۰ $\mu$  محلول اتانولی ۸۰ درصد، ۵: شاهد سالین. د) اثر ضد میکروبی سیکلوتیدها بر *X.oryzea* ۴: ۵ $\mu$  و ۲: ۱۰ $\mu$  محلول اتانولی ۵۰ درصد، ۳: ۵ $\mu$  و ۱: ۱۰ $\mu$  محلول اتانولی ۸۰ درصد، ۵: ۱۰ $\mu$  محلول اتانولی ۲۰ درصد. ه) اثر ضد میکروبی سیکلوتیدها بر باکتری‌های مفید خاک ۱: ۵ $\mu$  و ۲: ۱۰ $\mu$  محلول اتانولی ۵۰ درصد، ۳: ۵ $\mu$  و ۴: ۱۰ $\mu$  محلول اتانولی ۸۰ درصد، ۵: ۱۰ $\mu$  محلول اتانولی ۲۰ درصد.

جایگزین شده است، هر دو آمینو اسید آب‌گریز است. برهم‌کنش مجموعه آمینو اسیدهای لوپ ۲ و ۳ تعیین کننده نوع فعالیت سیکلوتیدهای است. در توالی پیشگویی شده از *V. ignobilis* در لوپ ۳ فنیل‌آلانین جایگاه ۱۵ با تریپتوфан از *cyclotide2d* جایگزین شده است. ویژگی زنجیره جانبی این دو آمینو اسید یکسان است. همچنان، فنیل‌آلانین جایگاه ۱۹ با لوسین جایگزین شده است. این آمینو اسیدها آب‌گریز است. با توجه به این تغییرات در پیتید پیشگویی شده حاصل از نمونه *V. ignobilis* احتمالاً ویژگی اتصال به غشای آن تغییر نخواهد کرد.

روش‌های مختلفی برای استخراج سیکلوتید از گیاه به کار می‌رود. تا سال ۲۰۰۵ روش Cleason با کمی تغییرات استفاده می‌شده است [۲۱]. روش کروماتوگرافی تعویض یونی پاراتیشن‌بندی حلال-حلال و کروماتوگرافی تعویض یونی روش‌هایی بود که در سال‌های بعد استفاده شد [۲۲]. تست Tricine-SDS-PAGE نشان داد غلظت سیکلوتید در محلول اتانولی ۵۰ درصد حاصل از شست و شوی ستون SPE نسبت به دو محلول دیگر بیشتر است. مطالعات آثار ضد میکروبی این محلول‌ها را نشان داد. اثر ضد میکروبی محلول اتانولی ۵۰ درصد بیشتر است که تأیید کننده یافته‌های مطالعه‌های هاشمپور و همکاران [۱۶] و دلیر و همکاران [۱۵] است.

فعالیت‌های مختلف سیکلوتیدها از جمله فعالیت‌های ضد ویروسی، ضد میکروبی، ضد کرمی و ضد سرطانی موضوع

با توجه به نتایج تعیین توالی ژن و ترجمه آن به توالی آمینو اسیدی و سپس مقایسه توالی‌های به دست آمده با توالی‌های موجود در پایگاه‌های اطلاعاتی مشخص شد، پیتید پیشگویی شده از گونه *V. odorata* بیشترین شباهت را به پیتید *vbc6* و پیتیدهای پیشگویی شده از نمونه‌های *V. ignobilis* و *V. occulta* بیشترین شباهت را به پیتید سیکلوتید 2d ثبت شده در Gene Bank داشت.

در مورد پیتید پیشگویی شده از گونه *spathulata* نتایج ۹۶ درصد مشابهت را با پیتید سیکلوبیولا سین ۱۳۵ نشان می‌دهد. در پیتید پیشگویی شده از نمونه *Viola odorata* در لوپ ۳ آلانین جایگاه ۳۶ با سرین جایگزین شده است. با توجه به خاصیت آب‌گریزی آلانین این پیتید نسبت به *vbc6* که شبیه‌ترین پیتید به خود است، قابلیت اتصال بیشتری به غشا دارد. بنابراین، احتمالاً قابلیت درمانی بالاتری دارد. البته، سیکلوتید c3 استخراج شده از *V. odorata* نیز در این جایگاه آلانین دارد. به علاوه، در این لوپ سرین جایگاه ۳۵ با ترئونین جایگزین شده است که به دلیل ویژگی‌های یکسان زنجیره جانبی این دو آمینو اسید، تغییری در توانایی اتصال پیتید ایجاد نمی‌کند. همچنان در توالی پیشگویی شده از *Viola occulta* در لوپ ۲ آرژنین جایگاه ۹ با تریپتوファン در *cyclotide2d* جایگزین شده است. با توجه به بیشتر بودن خاصیت آب‌گریزی در تریپتوファン احتمالاً توانایی کمتری برای اتصال به غشا دارد. در لوپ ۳ نیز فنیل‌آلانین با ایزولوسین

میلی‌متر) آشکارا از سایر باکتری‌های به کاررفته بیشتر است. این یافته با نتایج دلیر و همکاران [۱۵] مطابقت دارد. با توجه به نقش ذاتی سیکلوتیدها در دفاع میزان این یافته توجیه می‌شود. در بررسی امکان آفت‌کشی سیکلوتید، باکتری‌های مفید خاک تحت تأثیر سیکلوتیدهای استخراج شده قرار گرفت. حساسیت این باکتری‌ها از باکتری‌های بیماری‌زای گیاهی کمتر است.

این نتایج نشان می‌دهد استفاده از سیکلوتید در آفت‌کشی نیاز به تغییرات لازم از طریق مهندسی پروتئین دارد تا اثر آن روی باکتری‌های مفید خاک به حداقل برسد. با توجه به انعطاف‌پذیری ساختار سیکلوتید که در قسمت اول به آن اشاره کردیم، انجام چنین تغییراتی امکان‌پذیر است.

### تشکر و قدردانی

بدین‌وسیله از معاونت محترم پژوهشی دانشگاه الزهرا (س) برای حمایت مالی از این پژوهش تشکر و قدردانی می‌کنیم.

### References

- [1] Mousavi Nejad SZ, Mousavi F, Shakib H. Antimicrobial peptidesBiochemistry. Tehran, 2011. [in Persian]
- [2] Jennings CV, Rosengren KJ, Daly NL, Plan M, Stevens J, Scanlon MJ and et al. Isolation, solution structure, and insecticidal activity of kalataB2, a circular protein with a twist: do Möbius strips exist in nature Biochemistry. 2005; 44(3): 851-60.
- [3] Daly NL, Rosengren KJ, Craik DJ. Discovery, structure and biological activities of cyclotides.Adv Drug Deliv Rev, 2009; 61(11): 918-30.
- [4] Gran L. On the isolation of tetramethylputrescine from Oldenlandiaaffinis. Lloydia,1973; 36(2): 209-10.
- [5] Ovesen RG, Brandt KK, Göransson U, Nielsen J, Hansen HC, Cedergreen N. Biomedicine in the environment: cyclotides constitute potent natural toxins in plants and soil bacteria. Environ Toxicol Chem. 2011; 30(5): 1190-6.
- [6] Gustafson KR, Sowder RC, Henderson LE, Parsons IC, Kashman Y, et al. Novel Hiv-inhibitory macrocyclic peptides from the tropical tree *Chassalia parvifolia*. J Am Chem Soc, 1994. 116(20): 9337-9338.
- [7] Lindholm P, Göransson U, Johansson S, Claeson P, Gullbo J, Larsson R, et al. Cyclotides: a novel type of cytotoxic agents. Mol Cancer Ther, 2002; 1(6): 365-9.
- [8] Jennings C, West J, Waine C, Craik D, Anderson M. Biosynthesis and insecticidal properties of plant cyclotides: the cyclic knotted proteins from Oldenlandiaaffinis. Proc Natl AcadSci U S A, 2001; 98(19): 10614-9.
- [9] Henriques ST, Craik DJ. Cyclotides as templates in drug design. Drug Discov Today, 2010; 15(1-2): 57-64.
- [10] Pränting M1, Lööv C, Burman R, Göransson U, Andersson DI. The cyclotide cycloviolacin O<sub>2</sub> from *Viola odorata* has potent bactericidal activity against Gram-negative bacteria. J Antimicrob Chemother, 2010; 65(9): 1964-71.

بسیاری از پژوهش‌ها قرار گرفته است. سیکلوتیدهای سنتزی شامل kalataB1 است علیه باکتری‌های گرم- مثبت مثل استافیلوکوکوس اورئوس در غلظت‌های زیر میکرومولار فعال است، ولی علیه باکتری‌های گرم- منفی نسبتاً غیرفعال است، که با نتایج ذکر شده در این بخش سازگار است [۲۲]. پرانتیگ و همکاران اثر O<sub>2</sub> cycloviolacin را علیه طیفی از باکتری‌های گرم- مثبت و گرم- منفی مطالعه کردند و دریافتند این سیکلوتید علیه سویه‌های گرم- منفی اثر بیشتری دارد [۱۰]. سیکلوتیدهای مورد استفاده در این پژوهش در بین باکتری‌های بیماری‌زای انسانی بیشترین اثر را روی *Staphylococcus aureus* شرشیا کوکی و سودوموناس آریوجینوز تقریباً صفر است. مطالعه اثر ضدمیکروبی روی باکتری‌های بیماری‌زای گیاهی و مفید خاک محدود به پژوهشی است که دلیر و همکاران [۱۵] انجام داد.

مجموعه پیتیدی به کاررفته در این مطالعه بیشترین اثر را روی زانتوموناس اوریزوآ دارد. قطر هاله عدم رشد ۱۳

- [11] Clark RJ, Daly NL, Craik DJ. Structural plasticity of the cyclic-cystine-knot framework: implications for biological activity and drug design. Biochem J., 2006; 394(1): 85-93.
- [12] Qin Q, McCallum EJ, Kaas Q, Suda J, Saska I, Craik DJ and et al. Identification of candidates for cyclotide biosynthesis and cyclisation by expressed sequence tag analysis of Oldenlandiaaffinis. BMC Genomics, 2010; 11(111): 1-11.
- [13] Pirtila A.N, Hirsikorpi M, Kamarinen T, Jaakola L, Hohtola A. DNA isolation methods for medicinal and aromatic plant. Plant Molecular Biology Reporter, 2001; 19(3): 273-273.
- [14] Lehrer RI, Rosenman M, Harwig SS, Jackson R, Eisenhauer P. Ultrasensitive assays for endogenous antimicrobial polypeptides. J Immunol Methods, 1991; 137(2): 167-73.
- [15] Zarrabi M, Dalirfardouei R, Sepehrizade Z, KermanshahiRK. Comparison of the antimicrobial effects of semi-purified cyclotides from Iranian *Viola odorata* against some of plant and human pathogenic bacteria. Journal of Applied Microbiology, 2013; 115(2): 367-57.
- [16] Hashempour H, Ghassempour A, Daly NL, Spengler B, Römpf A. Analysis of cyclotides in *Viola ignobilis* by Nano liquid chromatography fourier transform mass spectrometry. Protein Pept Lett, 2011; 18(7): 747-52.
- [17] Lehrer RI, Rosenman M, Harwig SS, Jackson R, Eisenhauer P. Ultrasensitive assays for endogenous antimicrobial polypeptides. J Immunol Methods, 1991; 137(2): 167-73.
- [18] Biomedicine in the environment: cyclotides constitute potent natural toxins in plants and soil bacteria. Ovesen RG, Brandt KK, Göransson U, Nielsen J, Hansen HC, Cedergreen N. Environ Toxicol Chem. 2011; 30(5): 1190-6.
- [19] Dutton JL, Renda RF, Waine C, Clark RJ, Daly NL, Jennings CV, et al. Conserved structural and sequence elements implicated in the processing of gene-encoded circular proteins. Journal of Biology and Chemistry. 2004;

## ضرابی و همکاران

- 279(45), 46858-67.
- [20] Zhang J, Liao B, Craik DJ, Li JT, Hu M, Shu WS. Identification of two suites of cyclotide precursor genes from metallophyte *Viola baoshanensis*: cDNA sequence variation, alternative RNA splicing and potential cyclotide diversity. *Gene*. 2009; 431(1-2): 23-32.
- [21] Claeson P, Göransson U, Johansson S, Luijendijk T, Bohlin L. Fractionation protocol for the isolation of polypeptides from plant biomass. *J Nat Prod*. 1998; 61(1): 77-81.
- [22] Svangarda E, Göransson U, Smithb D, Vermab C, Backlunda A, Bohlina L, et al. Primary and 3-D modelled structures of two cyclotides from *Viola odorata*. *Phytochemistry*, 2003; 64(1): 135-42.
- [23] Tam Jp, Lu YA, Yang JL, Chiu KW. An unusual structural motif of antimicrobial peptides containing end-to-end macrocycle and cystine-knot disulfides. *Proc Natl AcadSci USA*, 1999; 96(16): 8913-8918.